

# Un algorithme efficace pour une généralisation du Pooling Problem

Paulin Jacquot <sup>1</sup>    Maxime Fender <sup>2</sup>

<sup>1</sup>EDF R&D, Inria Saclay and CMAP, École Polytechnique, France

<sup>2</sup>Artelys, France

24 Février 2017

**ROADEF 2017, Metz, France**

- 1 Description du problème
- 2 McCormick relaxation and MILP model
- 3 Problème NLP
- 4 The Algorithm

- L'eau dans le réseau est contaminée avec un ensemble de contaminants  $\mathcal{C}$ .
- Chaque  $c \in \mathcal{C}$  est présent avec une concentration  $\rho_c$ .

Un réseau de traitement est composé de différentes unités :

Un réseau de traitement est composé de différentes unités :

- unités *sources* ( $WS$ ),  $\rightarrow$  débit  $\varphi^{\text{out}} \in [\varphi_{WS}^{\text{min}}, \varphi_{WS}^{\text{max}}]$  et conc.  $\rho_{WS,c}$  fixes,

Un réseau de traitement est composé de différentes unités :

- unités *sources* ( $WS$ ),  $\rightarrow$  débit  $\varphi^{\text{out}} \in [\varphi_{ws}^{\text{min}}, \varphi_{ws}^{\text{max}}]$  et conc.  $\rho_{ws,c}$  fixes,
- unités *demande* ( $WD$ ),  $\rightarrow$  flux ,  $\varphi^{\text{in}} \in [\varphi_{wd}^{\text{min}}, \varphi_{wd}^{\text{max}}]$  ,conc.  $\rho_c^{\text{in}} \leq \rho_{c,wd}^{\text{max}}$ ,

Un réseau de traitement est composé de différentes unités :

- unités *sources* ( $WS$ ),  $\rightarrow$  débit  $\varphi^{\text{out}} \in [\varphi_{ws}^{\text{min}}, \varphi_{ws}^{\text{max}}]$  et conc.  $\rho_{ws,c}$  fixes,
- unités *demande* ( $WD$ ),  $\rightarrow$  flux,  $\varphi^{\text{in}} \in [\varphi_{wd}^{\text{min}}, \varphi_{wd}^{\text{max}}]$ , conc.  $\rho_c^{\text{in}} \leq \rho_{c,wd}^{\text{max}}$ ,
- unités *traitement* ( $TU$ )  $\rightarrow$  flux  $\varphi^{\text{in}} \leq \varphi_{tu}^{\text{max}}$ , conc.  $\rho_c^{\text{in}} \leq \rho_{c,tu}^{\text{max}}$ ,  
 $\rightarrow$  abaissent  $\rho_c$  à un seuil ou d'un facteur  $\lambda$ , coût d'instal.  $C_{tu}$ ,

Un réseau de traitement est composé de différentes unités :

- unités *sources* ( $WS$ ),  $\rightarrow$  débit  $\varphi^{\text{out}} \in [\varphi_{ws}^{\text{min}}, \varphi_{ws}^{\text{max}}]$  et conc.  $\rho_{ws,c}$  fixes,
- unités *demande* ( $WD$ ),  $\rightarrow$  flux,  $\varphi^{\text{in}} \in [\varphi_{wd}^{\text{min}}, \varphi_{wd}^{\text{max}}]$ , conc.  $\rho_c^{\text{in}} \leq \rho_{c,wd}^{\text{max}}$ ,
- **unités traitement** ( $TU$ )  $\rightarrow$  flux  $\varphi^{\text{in}} \leq \varphi_{tu}^{\text{max}}$ , conc.  $\rho_c^{\text{in}} \leq \rho_{c,tu}^{\text{max}}$ ,  
 $\rightarrow$  abaissent  $\rho_c$  à un seuil ou d'un facteur  $\lambda$ , coût d'instal.  $C_{tu}$ ,
- unités *processing* ( $PU$ ),  $\rightarrow$  flux  $\varphi^{\text{in}} \in [\varphi_{pu}^{\text{min}}, \varphi_{pu}^{\text{max}}]$ , conc.  $\rho_c^{\text{in}} \leq \rho_{c,pu}^{\text{max}}$   
 $\rightarrow$  rejettent de l'eau  $\varphi_{pu}^{\text{out}} = \varphi_{pu}^{\text{in}} + \Delta_{pu}$ ,



Un réseau de traitement est composé de différentes unités :

- unités *sources* (*WS*),  $\rightarrow$  débit  $\varphi^{\text{out}} \in [\varphi_{ws}^{\text{min}}, \varphi_{ws}^{\text{max}}]$  et conc.  $\rho_{ws,c}$  fixes,
- unités *demande* (*WD*),  $\rightarrow$  flux,  $\varphi^{\text{in}} \in [\varphi_{wd}^{\text{min}}, \varphi_{wd}^{\text{max}}]$ , conc.  $\rho_c^{\text{in}} \leq \rho_{c,wd}^{\text{max}}$ ,
- unités *traitement* (*TU*)  $\rightarrow$  flux  $\varphi^{\text{in}} \leq \varphi_{tu}^{\text{max}}$ , conc.  $\rho_c^{\text{in}} \leq \rho_{c,tu}^{\text{max}}$ ,  
 $\rightarrow$  abaissent  $\rho_c$  à un seuil ou d'un facteur  $\lambda$ , coût d'instal.  $C_{tu}$ ,
- unités *processing* (*PU*),  $\rightarrow$  flux  $\varphi^{\text{in}} \in [\varphi_{pu}^{\text{min}}, \varphi_{pu}^{\text{max}}]$ , conc.  $\rho_c^{\text{in}} \leq \rho_{c,pu}^{\text{max}}$   
 $\rightarrow$  rejettent de l'eau  $\varphi_{pu}^{\text{out}} = \varphi_{pu}^{\text{in}} + \Delta_{pu}$ ,
- unités *buffer* (*BU*),  $\rightarrow$  stockent une quantité d'eau  $\leq C_{bu}$ , coût  $C_{bu}$ ,

Un réseau de traitement est composé de différentes unités :

- unités *sources* (*WS*), → débit  $\varphi^{\text{out}} \in [\varphi_{ws}^{\text{min}}, \varphi_{ws}^{\text{max}}]$  et conc.  $\rho_{ws,c}$  fixes,
- unités *demande* (*WD*), → flux,  $\varphi^{\text{in}} \in [\varphi_{wd}^{\text{min}}, \varphi_{wd}^{\text{max}}]$ , conc.  $\rho_c^{\text{in}} \leq \rho_{c,wd}^{\text{max}}$ ,
- unités *traitement* (*TU*) → flux  $\varphi^{\text{in}} \leq \varphi_{tu}^{\text{max}}$ , conc.  $\rho_c^{\text{in}} \leq \rho_{c,tu}^{\text{max}}$ ,  
→ abaissent  $\rho_c$  à un seuil ou d'un facteur  $\lambda$ , coût d'instal.  $C_{tu}$ ,
- unités *processing* (*PU*), → flux  $\varphi^{\text{in}} \in [\varphi_{pu}^{\text{min}}, \varphi_{pu}^{\text{max}}]$ , conc.  $\rho_c^{\text{in}} \leq \rho_{c,pu}^{\text{max}}$   
→ rejettent de l'eau  $\varphi_{pu}^{\text{out}} = \varphi_{pu}^{\text{in}} + \Delta_{pu}$ ,
- unités *buffer* (*BU*), → stockent une quantité d'eau  $\leq C_{bu}$ , coût  $C_{bu}$ ,
- *tuyaux* (*s, e*) reliant une sortie d'unité *s* à une entrée *e* d'unité, avec un diamètre  $d \in \{d_1, ..d_K\}$  et  $\varphi_{s,e} \leq \pi(d/2)^2$ , coût  $C_d$ .

Un réseau de traitement est composé de différentes unités :

- unités *sources* (*WS*), → débit  $\varphi^{\text{out}} \in [\varphi_{ws}^{\text{min}}, \varphi_{ws}^{\text{max}}]$  et conc.  $\rho_{ws,c}$  fixes,
- unités *demande* (*WD*), → flux,  $\varphi^{\text{in}} \in [\varphi_{wd}^{\text{min}}, \varphi_{wd}^{\text{max}}]$ , conc.  $\rho_c^{\text{in}} \leq \rho_{c,wd}^{\text{max}}$ ,
- unités *traitement* (*TU*) → flux  $\varphi^{\text{in}} \leq \varphi_{tu}^{\text{max}}$ , conc.  $\rho_c^{\text{in}} \leq \rho_{c,tu}^{\text{max}}$ ,  
→ abaissent  $\rho_c$  à un seuil ou d'un facteur  $\lambda$ , coût d'instal.  $C_{tu}$ ,
- unités *processing* (*PU*), → flux  $\varphi^{\text{in}} \in [\varphi_{pu}^{\text{min}}, \varphi_{pu}^{\text{max}}]$ , conc.  $\rho_c^{\text{in}} \leq \rho_{c,pu}^{\text{max}}$   
→ rejettent de l'eau  $\varphi_{pu}^{\text{out}} = \varphi_{pu}^{\text{in}} + \Delta_{pu}$ ,
- unités *buffer* (*BU*), → stockent une quantité d'eau  $\leq C_{bu}$ , coût  $C_{bu}$ ,
- *tuyaux* (*s, e*) reliant une sortie d'unité *s* à une entrée *e* d'unité, avec un diamètre  $d \in \{d_1, ..d_K\}$  et  $\varphi_{s,e} \leq \pi(d/2)^2$ , coût  $C_d$ .

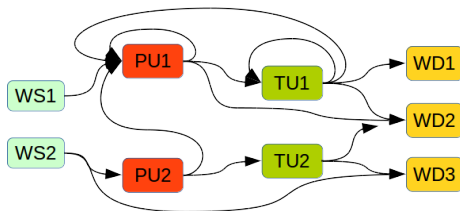
Un réseau de traitement est composé de différentes unités :

- unités *sources* ( $WS$ ),  $\rightarrow$  débit  $\varphi^{\text{out}} \in [\varphi_{ws}^{\text{min}}, \varphi_{ws}^{\text{max}}]$  et conc.  $\rho_{ws,c}$  fixes,
- unités *demande* ( $WD$ ),  $\rightarrow$  flux,  $\varphi^{\text{in}} \in [\varphi_{wd}^{\text{min}}, \varphi_{wd}^{\text{max}}]$ , conc.  $\rho_c^{\text{in}} \leq \rho_{c,wd}^{\text{max}}$ ,
- unités *traitement* ( $TU$ )  $\rightarrow$  flux  $\varphi^{\text{in}} \leq \varphi_{tu}^{\text{max}}$ , conc.  $\rho_c^{\text{in}} \leq \rho_{c,tu}^{\text{max}}$ ,  
 $\rightarrow$  abaissent  $\rho_c$  à un seuil ou d'un facteur  $\lambda$ , coût d'instal.  $c_{tu}$ ,
- unités *processing* ( $PU$ ),  $\rightarrow$  flux  $\varphi^{\text{in}} \in [\varphi_{pu}^{\text{min}}, \varphi_{pu}^{\text{max}}]$ , conc.  $\rho_c^{\text{in}} \leq \rho_{c,pu}^{\text{max}}$   
 $\rightarrow$  rejettent de l'eau  $\varphi_{pu}^{\text{out}} = \varphi_{pu}^{\text{in}} + \Delta_{pu}$ ,
- unités *buffer* ( $BU$ ),  $\rightarrow$  stockent une quantité d'eau  $\leq C_{bu}$ , coût  $c_{bu}$ ,
- *tuyaux* ( $s, e$ ) reliant une sortie d'unité  $s$  à une entrée  $e$  d'unité, avec un diamètre  $d \in \{d_1, ..d_K\}$  et  $\varphi_{s,e} \leq \pi(d/2)^2$ , coût  $c_d$ .

Design

Fonctionnement

# Problème- Exemple



Objectif: trouver un réseau **fonctionnel** qui minimise les **coûts** (install. + fonctionnement).

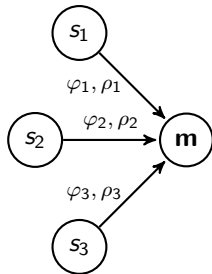
# Relaxation (MILP)

- Linéarisation des contraintes d'unités TU :  $\rho^{out} = \min(\rho^{in}, \mu)$ :

$$\left\{ \begin{array}{l} s^{in}, s^{\mu} \geq 0 \\ \eta \in 0, 1 \\ \rho^{in} = \rho^{out} + s^{in} \\ \mu = \rho^{out} + s^{\mu} \\ s^{in} \leq \bar{\rho} \cdot (1 - \eta) \\ s^{\mu} \leq \mu \cdot \eta \end{array} \right. \quad (1)$$

- Linéarisation de toutes les contraintes bilinéaires:

$$\rho_{m,c}\varphi_m = \sum_{(s,m)} \rho_{sm,c}\varphi_{sm}$$



# Relaxation McCormick

Égalités bilinéaires  $\rightarrow$  relaxations de McCormick ([5]).

Sous les contraintes  $\varphi \in [\varphi^{\text{LB}}, \varphi^{\text{UB}}]$

et  $\rho \in [\rho^{\text{LB}}, \rho^{\text{UB}}]$ , les produits :

$$w = \varphi \cdot \rho \quad (2)$$

sont remplacés par les 4 équations :

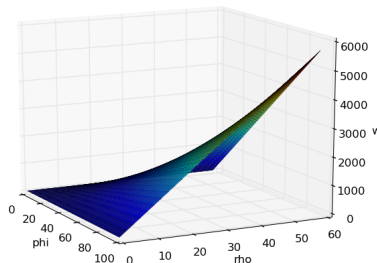


Figure: Graph of  $w = \varphi \cdot \rho$

# Relaxation McCormick

Égalités bilinéaires  $\rightarrow$  relaxations de McCormick ([5]).

Sous les contraintes  $\varphi \in [\varphi^{\text{LB}}, \varphi^{\text{UB}}]$

et  $\rho \in [\rho^{\text{LB}}, \rho^{\text{UB}}]$ , les produits :

$$w = \varphi \cdot \rho \quad (2)$$

sont remplacés par les 4 équations :

$$\varphi^{\text{LB}} \cdot \rho + \varphi \cdot \rho^{\text{LB}} \leq w + \varphi^{\text{LB}} \cdot \rho^{\text{LB}}$$

$$\varphi^{\text{UB}} \cdot \rho + \varphi \cdot \rho^{\text{UB}} \leq w + \varphi^{\text{UB}} \cdot \rho^{\text{UB}}$$

$$\varphi^{\text{LB}} \cdot \rho + \varphi \cdot \rho^{\text{UB}} \geq w + \varphi^{\text{LB}} \cdot \rho^{\text{UB}}$$

$$\varphi^{\text{UB}} \cdot \rho + \varphi \cdot \rho^{\text{LB}} \geq w + \varphi^{\text{UB}} \cdot \rho^{\text{LB}}$$

$\rightarrow (w, \rho, \varphi)$  relâché dans l'enveloppe convexe de  $\{(w, \rho, \varphi) \mid w = \varphi \cdot \rho\}$ .

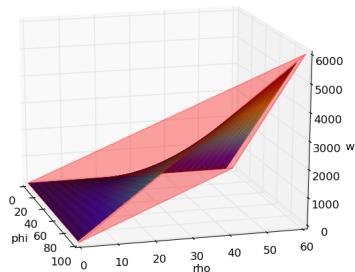


Figure: Convex Hull of  $w = \varphi \cdot \rho$



# Relaxation entière

Relaxations plus précises avec variables entières : avec les contraintes

$$\rho_{m,c}\varphi_m = \sum_{(s,m)} \rho_{sm,c}\varphi_{sm}, \quad \forall c \text{ contaminant}$$

→  $[\varphi^{\text{LB}}, \varphi^{\text{UB}}]$  découpé en  $K$  sous-segments:

$$\varphi^L = \bar{\varphi}_0 < \bar{\varphi}_1 < \dots < \bar{\varphi}_K < \bar{\varphi}_{K+1} = \varphi^{\text{UB}}$$

$$\bar{\varphi}_k \cdot \rho + \varphi \cdot \rho^{\text{LB}} \leq w + \bar{\varphi}_k \cdot \rho^{\text{LB}} + (1 - b_k) \cdot M, \quad (3)$$

avec  $b_k \in \{0, 1\}$  et  $\sum_{k=0}^K b_k = 1$ .

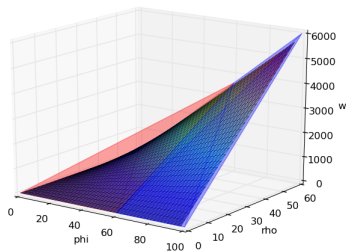


Figure: 2 Convex Hulls for  $w = \varphi \cdot \rho$

# Problème NLP

variables entières (réseau) fixées  $\rightarrow$  problème (NLP)

Résolution locale avec algorithme "active set" (SL-EQP) (solveur non linéaire Knitro)

Start from  $x_0 = x^{\text{start}}$ ;

**while**  $k < \text{maxIt}$  or  $\text{err} > \text{tol}$  **do**

┆

variables entières (réseau) fixées  $\rightarrow$  problème (NLP)

Résolution locale avec algorithme "active set" (SL-EQP) (solveur non linéaire Knitro)

Start from  $x_0 = x^{\text{start}}$ ;

**while**  $k < \text{maxIt}$  or  $\text{err} > \text{tol}$  **do**

1. **LP point:** solve the 1<sup>st</sup> order (LP) problem with trust region  $\Delta_{LP}^k$ ;

Get direction  $d_k^{LP}$  and working set of constraints  $W_k$  ;

variables entières (réseau) fixées  $\longrightarrow$  problème (NLP)

Résolution locale avec algorithme "active set" (SL-EQP) (solveur non linéaire Knitro)

Start from  $x_0 = x^{\text{start}}$ ;

**while**  $k < \text{maxIt}$  or  $\text{err} > \text{tol}$  **do**

1. **LP point:** solve the 1<sup>st</sup> order (LP) problem with trust region  $\Delta_{LP}^k$ ;

Get direction  $d_k^{LP}$  and working set of constraints  $W_k$  ;

2. **Cauchy point:** Compute  $\alpha_k^{LP} \in \underset{\alpha \in (0,1]}{\text{argmin}} q(\alpha d_k^{LP})$ ;

Set  $d_k^C = \alpha_k^{LP} d_k^{LP}$  and  $x_k^C = x_k + d_k^C$  ;

variables entières (réseau) fixées  $\rightarrow$  problème (NLP)

Résolution locale avec algorithme "active set" (SL-EQP) (solveur non linéaire Knitro)

Start from  $x_0 = x^{\text{start}}$ ;

**while**  $k < \text{maxIt}$  or  $\text{err} > \text{tol}$  **do**

**1. LP point:** solve the 1<sup>st</sup> order (LP) problem with trust region  $\Delta_{LP}^k$ ;

Get direction  $d_k^{LP}$  and working set of constraints  $W_k$  ;

**2. Cauchy point:** Compute  $\alpha_k^{LP} \in \underset{\alpha \in (0,1]}{\text{argmin}} q(\alpha d_k^{LP})$ ;

Set  $d_k^C = \alpha_k^{LP} d_k^{LP}$  and  $x_k^C = x_k + d_k^C$  ;

**3. EQP point:** Compute  $x_k^{EQP}$  by solving an EQP with trust region  $\Delta_k$  and constraints defined by  $W_k$  . Define  $d_k^{CE} = x_k^{EQP} - x_k^C$  ;

variables entières (réseau) fixées  $\rightarrow$  problème (NLP)

Résolution locale avec algorithme "active set" (SL-EQP) (solveur non linéaire Knitro)

Start from  $x_0 = x^{\text{start}}$ ;

**while**  $k < \text{maxIt}$  or  $\text{err} > \text{tol}$  **do**

**1. LP point:** solve the 1<sup>st</sup> order (LP) problem with trust region  $\Delta_{LP}^k$ ;

Get direction  $d_k^{LP}$  and working set of constraints  $W_k$  ;

**2. Cauchy point:** Compute  $\alpha_k^{LP} \in \underset{\alpha \in (0,1]}{\text{argmin}} q(\alpha d_k^{LP})$ ;

Set  $d_k^C = \alpha_k^{LP} d_k^{LP}$  and  $x_k^C = x_k + d_k^C$  ;

**3. EQP point:** Compute  $x_k^{EQP}$  by solving an EQP with trust region  $\Delta_k$  and constraints defined by  $W_k$  . Define  $d_k^{CE} = x_k^{EQP} - x_k^C$  ;

**4. Trial point:** Compute  $\alpha_k \in [0, 1]$  as the (approximate) minimizer of  $q(d_k^C + \alpha d_k^{CE})$ . Set  $d_k = d_k^C + \alpha_k d_k^{CE}$  and  $x_k^T = x_k + d_k$  ;

**Update:** update  $x_{k+1} \leftarrow x_k^T$  if  $x_k^T$  good enough, else reduce trust region :  $\Delta_{k+1} < \Delta_k$  ;  
 $k \leftarrow k + 1$  ;

# Our Algorithm

```
Set  $LB \leftarrow 0, UB \leftarrow +\infty$  ;  
while  $t \leq T^{lim}$  &  $|UB - LB| > \varepsilon^{lim}$  do
```

# Our Algorithm

```
Set  $LB \leftarrow 0$ ,  $UB \leftarrow +\infty$  ;  
while  $t \leq T^{lim}$  &  $|UB - LB| > \varepsilon^{lim}$  do  
  for  $k_{it} = 0$  to  $N_{lim}$  do  
    Solve MILP relaxation with  $LB$  ( XPRESS ) ;  
    if  $sol > LB$  then  
       $LB \leftarrow sol$  ;  
    Find  $\tilde{\varphi}$  associated with most violated constraint in NLP and divide segment at  $\tilde{\varphi}$  ;
```



# Our Algorithm

```
Set  $LB \leftarrow 0$ ,  $UB \leftarrow +\infty$  ;  
while  $t \leq T^{lim}$  &  $|UB - LB| > \varepsilon^{lim}$  do  
  for  $k_{it} = 0$  to  $N_{lim}$  do  
    Solve MILP relaxation with LB ( XPRESS ) ;  
    if  $sol > LB$  then  
       $LB \leftarrow sol$  ;  
    Find  $\tilde{\varphi}$  associated with most violated constraint in NLP and divide segment at  $\tilde{\varphi}$  ;  
  repeat  
    Solve MILP relaxation with LB ( XPRESS ), get sol  $x_{LP}^*$  ;  
    if  $f(x_{LP}^*) > LB$  then  
       $LB \leftarrow f(x_{LP}^*)$  ;  
    Find  $\tilde{\varphi}$  with biggest slack:  $argmax|\varphi\rho - w|$  and divide segment at  $\tilde{\varphi}$  ;  
  
until  $t \geq T^{lim}$  ;
```

# Our Algorithm

```
Set  $LB \leftarrow 0, UB \leftarrow +\infty$  ;  
while  $t \leq T^{lim}$  &  $|UB - LB| > \varepsilon^{lim}$  do  
  for  $k_{it} = 0$  to  $N_{lim}$  do  
    Solve MILP relaxation with  $LB$  ( XPRESS ) ;  
    if  $sol > LB$  then  
       $LB \leftarrow sol$  ;  
    Find  $\tilde{\varphi}$  associated with most violated constraint in NLP and divide segment at  $\tilde{\varphi}$  ;  
  repeat  
    Solve MILP relaxation with  $LB$  ( XPRESS ), get sol  $x_{LP}^*$  ;  
    if  $f(x_{LP}^*) > LB$  then  
       $LB \leftarrow f(x_{LP}^*)$  ;  
    Find  $\tilde{\varphi}$  with biggest slack:  $argmax|\varphi\rho - w|$  and divide segment at  $\tilde{\varphi}$  ;  
    Solve the NLP starting from  $x_{LP}^*$  ;  
    if NLP feasible ( $x_{NL}^*$  local solution found) then  
      if  $f(x_{NL}^*) < UB$  then  
        update  $UB \leftarrow f(x_{NL}^*)$  ;  
        update best sol  $x^* \leftarrow x_{NL}^*$  ;  
      Break repeat loop ;  
  until  $t \geq T^{lim}$  ;
```

# Our Algorithm

```
Set  $LB \leftarrow 0, UB \leftarrow +\infty$  ;  
while  $t \leq T^{lim}$  &  $|UB - LB| > \varepsilon^{lim}$  do  
  for  $k_{it} = 0$  to  $N_{lim}$  do  
    Solve MILP relaxation with  $LB$  ( XPRESS ) ;  
    if  $sol > LB$  then  
       $LB \leftarrow sol$  ;  
    Find  $\tilde{\varphi}$  associated with most violated constraint in NLP and divide segment at  $\tilde{\varphi}$  ;  
  repeat  
    Solve MILP relaxation with  $LB$  ( XPRESS ), get sol  $x_{LP}^*$  ;  
    if  $f(x_{LP}^*) > LB$  then  
       $LB \leftarrow f(x_{LP}^*)$  ;  
    Find  $\tilde{\varphi}$  with biggest slack:  $argmax|\varphi\rho - w|$  and divide segment at  $\tilde{\varphi}$  ;  
    Solve the NLP starting from  $x_{LP}^*$  ;  
    if NLP feasible ( $x_{NL}^*$  local solution found) then  
      if  $f(x_{NL}^*) < UB$  then  
        update  $UB \leftarrow f(x_{NL}^*)$  ;  
        update best sol  $x^* \leftarrow x_{NL}^*$  ;  
      Break repeat loop ;  
    Find  $\tilde{\varphi}$  associated with most violated constraint in NLP and divide segment at  $\tilde{\varphi}$  ;  
until  $t \geq T^{lim}$  ;
```

# Our Algorithm

```
Set  $LB \leftarrow 0, UB \leftarrow +\infty$  ;  
while  $t \leq T^{lim}$  &  $|UB - LB| > \varepsilon^{lim}$  do  
  for  $k_{it} = 0$  to  $N_{lim}$  do  
    Solve MILP relaxation with  $LB$  ( XPRESS ) ;  
    if  $sol > LB$  then  
       $LB \leftarrow sol$  ;  
    Find  $\tilde{\varphi}$  associated with most violated constraint in NLP and divide segment at  $\tilde{\varphi}$  ;  
  repeat  
    Solve MILP relaxation with  $LB$  ( XPRESS ), get sol  $x_{LP}^*$  ;  
    if  $f(x_{LP}^*) > LB$  then  
       $LB \leftarrow f(x_{LP}^*)$  ;  
    Find  $\tilde{\varphi}$  with biggest slack:  $argmax|\varphi\rho - w|$  and divide segment at  $\tilde{\varphi}$  ;  
    Solve the NLP starting from  $x_{LP}^*$  ;  
    if NLP feasible ( $x_{NL}^*$  local solution found) then  
      if  $f(x_{NL}^*) < UB$  then  
        update  $UB \leftarrow f(x_{NL}^*)$  ;  
        update best sol  $x^* \leftarrow x_{NL}^*$  ;  
      Break repeat loop ;  
    Find  $\tilde{\varphi}$  associated with most violated constraint in NLP and divide segment at  $\tilde{\varphi}$  ;  
  until  $t \geq T^{lim}$  ;  
return best  $x^*$  where useless pipes with  $\varphi_p < \varphi^{tol}$  are deleted;
```

- Méthode utilisant des relaxations MILP et NLP du problème.
- Pour plus d'efficacité :
  - des branches sont inutilement explorées durant chaque nouveau B&B → implémenter un B&B efficace et intelligent gagnerait beaucoup de temps (la résolution MILP prend rapidement un temps très long!),
  - travailler sur la formulation du problème pour réduire la dégénérescence du problème → résolution NLP plus efficace.

- Méthode utilisant des relaxations MILP et NLP du problème.
- Pour plus d'efficacité :
  - des branches sont inutilement explorées durant chaque nouveau B&B → implémenter un B&B efficace et intelligent gagnerait beaucoup de temps (la résolution MILP prend rapidement un temps très long!),
  - travailler sur la formulation du problème pour réduire la dégénérescence du problème → résolution NLP plus efficace.

**THANK YOU !**



Richard H Byrd, Nicholas IM Gould, Jorge Nocedal, and Richard A Waltz.  
An algorithm for nonlinear optimization using linear programming and equality constrained subproblems.

*Mathematical Programming*, 100(1):27–48, 2003.



Richard H Byrd, Nicholas IM Gould, Jorge Nocedal, and Richard A Waltz.  
On the convergence of successive linear-quadratic programming algorithms.

*SIAM Journal on Optimization*, 16(2):471–489, 2005.



Richard H Byrd, Jorge Nocedal, and Richard A Waltz.  
Knitro: An integrated package for nonlinear optimization.

In *Large-scale nonlinear optimization*, pages 35–59. Springer, 2006.



Artelys Knitro.

Knitro web page, 2016.



Garth P McCormick.

Computability of global solutions to factorable nonconvex programs: Part i—convex underestimating problems.

*Mathematical programming*, 10(1):147–175, 1976.